

Kaczmarek Kacper
MNUM - Sprawozdanie
Zadanie 4.08

Zadanie 1.

Ruch punktu jest opisany równaniami:

$$x_1' = x_2 + x_1 * (0.2 - x_1^2 - x_2^2)$$

$$x_2' = -x_1 + x_2 * (0.2 - x_1^2 - x_2^2)$$

Należy obliczyć przebieg trajektorii ruchu na przedziale $[0, 20]$ dla następujących warunków początkowych:

a) $x_1(0) = 8$
 $x_2(0) = 7$

b) $x_1(0) = 0$
 $x_2(0) = 0.4$

c) $x_1(0) = 5$
 $x_2(0) = 0$

d) $x_1(0) = 0.01$
 $x_2(0) = 0.001$

Do rozwiązania należy użyć zaimplementowanych przez siebie metod:

- 1. Rungego-Kutty czwartego rzędu (RK4) ze stałym krokiem. Proszę przy tym tykonać tyle prób (kilka – kilkanaście), ile będzie potrzebnych do znalezienia takiego kroku, którego zmniejszenie nie wpływa znacząco na rozwiązanie, podczas gdy zwiększenie – już wpływa;*
- 2. Wielokrokowej predyktor – korektor Adamsa czwartego rzędu ze stałym krokiem, który należy dobrać w sposób podany dla metody z punktu 1;*
- 3. Rungego-Kutty czwartego rzędu (RK4) ze zmiennym krokiem. W każdym kroku należy szacować błąd aproksymacji.*

Równania różniczkowe

Równania różniczkowe są powszechnie stosowane do modelowania matematycznych układów dynamicznych. Układy równań różniczkowych opisujące rzeczywiste układy dynamiczne są zazwyczaj nieliniowe i z reguły nie są znane metody wyznaczania ich rozwiązań analitycznych i jedynym sposobem na znalezienie rozwiązania są metody numeryczne.

Poszukujemy rozwiązania układu równań postaci

$$\frac{dy_i(x)}{dx} = f_i(x, y_1(x), \dots, y_m(x)), \quad i = 1, \dots, m,$$

Na danym odcinku $a < x < b$, przy warunkach początkowych $y_i = y_{ia}, i = 1, \dots, m$.

Metody jednokrokowe

Ogólny wzór określający pojedynczy krok metody jednokrokowej przy stałej długości kroku h można zdefiniować następująco:

$$y_{n+1} = y_n + h\Phi_f(x_n, y_n; h),$$

Gdzie

$$y(x_0) = y_0 = y_a, \quad x_n = x_0 + nh, \quad n = 0, 1, \dots,$$

Zaś $\Phi_n(x_n, y_n; h)$ to funkcja definiująca metodę. Jeśli $h \neq 0$, to wzór powyższy można zapisać w postaci

$$\Phi_f(x_n, y_n; h) = \frac{y_{n+1} - y_n}{h},$$

Zdefiniujemy

$$\Delta_f(x_n, y_n; h) = \frac{y(x_n + h) - y(x_n)}{h}$$

Mówimy, że metoda jest zbieżna, gdy

$$h \rightarrow 0 \Rightarrow y(x_n; h) \rightarrow y(x),$$

tzn, gdy

$$h \rightarrow 0 \Rightarrow y_n \rightarrow y(x_n), y_{n+1} \rightarrow y(x_n + h)$$

co implikuje

$$\Phi_f(x_n, y_n; h) \xrightarrow{h \rightarrow 0} \Delta_f(x_n, y_n; h)$$

Z kolei mamy

$$\Delta_f(x_n, y_n; h) \xrightarrow{h \rightarrow 0} y'(x_n) = f(x_n, y_n)$$

Stąd warunkiem aproksymacji (warunkiem zgodności metody z równaniem) nazywamy warunek

$$\Phi_f(x, y; 0) = f(x, y)$$

Błąd aproksymacji

Lokalny błąd metody będziemy oznaczać $r_n(h)$. Jest to błąd powstały w jednym kroku (tj. przy założeniu, że startujemy w tym kroku z dokładnej wartości rozwiązania $y_n = y(x_n)$). Definiujemy go następująco:

$$r_n(h) \stackrel{\text{def}}{=} y(x_n + h) - [y(x_n) + h\Phi_f(x_n, y_n; h)]$$

Gdzie $y(x_n + h)$ jest rozwiązaniem, dla $x = x_n + h$ układu równań

$$y' = f(x, y(x))$$

$$y(x_n) = y_n, \quad x \in [x_n, b]$$

Tzn rozwiązaniem przechodzącym przez punkt $y(x_n) = y_n$.

Metody Rungego-Kutty (RK)

Metody te można zdefiniować następującym wzorem:

$$y_{n+1} = y_n + h * \sum_{i=1}^m w_i k_i$$

Gdzie

$$k_1 = f(x_n, y_n),$$
$$k_i = f\left(x_n + c_i h, y_n + h * \sum_{j=1}^{i-1} a_{ij} k_j\right), \quad i = 2, 3, \dots, m,$$

Przy czym

$$\sum_{j=1}^{i-1} a_{ij} = c_i, \quad i = 2, 3, \dots, m.$$

Do wykonania jednego kroku metody należy obliczyć wartości prawych stron dokładnie m razy, stąd metody są m-etapowe. Największe znaczenie praktyczne mają metody m = 4 i rzędu 4 - kompromis między dokładnością, a nakładem obliczeń na jedną iterację.

Metoda Rungego-Kutty rzędu 4. (RK4)

$$y_{n+1} = y_n + \frac{1}{6} * h * (k_1 + 2k_2 + 2k_3 + k_4)$$

$$k_1 = f(x_n, y_n)$$

$$k_2 = f\left(x_n + \frac{1}{2} * h, y_n + \frac{1}{2} * h * k_1\right)$$

$$k_3 = f\left(x_n + \frac{1}{2} * h, y_n + \frac{1}{2} * h * k_2\right)$$

$$k_4 = f(x_n + h, y_n + h * k_3)$$

Wybór długości kroku

Podstawowym zagadnieniem przy praktycznej implementacji metod rozwiązywania równań różniczkowych jest kwestia doboru długości kroku całkowanie h_n . Przy wyznaczaniu długości kroku występują dwie przeciwstawne sobie zagadnienia:

- Jeśli krok h_n maleje, to maleje błąd metody, dla metody zbieżnej błąd maleje do zera przy h dążącym do zera
- Jeśli krok h_n maleje, to zwiększa się liczba iteracji potrzebnych do wyznaczenia rozwiązania na zadanym odcinku $< a, b >$, a stąd liczba obliczeń i związanych z nimi błędów numerycznych.

Z powyższych punktów wynika, że powinien istnieć optymalny krok, dla którego jednocześnie błędy metody i numeryczne nie będą zbyt duże.

Szacowanie wartości błędu według zasady podwójnego kroku

W celu szacowania błędu, oprócz kroku o długości h wykonujemy dodatkowo równoległe i dokładnie tą samą metodą dwa dodatkowe kroki o długości $\frac{1}{2}h$ każdy.

Wychodząc ze wzorów

$$y(x_n + h) = y_n^{(1)} + \frac{r_n^{(p+1)}(0)}{(p+1)!} * h^{p+1} + O(h^{p+2}) \text{ - po kroku pojedynczym}$$

$$y(x_n + h) \approx y_n^{(2)} + 2 * \frac{r_n^{(p+1)}(0)}{(p+1)!} * (\frac{h}{2})^{p+1} + O(h^{p+2}) \text{ - po kroku podwójnym}$$

Po przekształceniach dochodzimy do wzoru

$$\sigma_n(h) = \frac{2^p}{2^p - 1} (y_n^{(2)} - y_n^{(1)}) \xrightarrow{p=4} \frac{16}{15} (y_n^{(2)} - y_n^{(1)}) \text{ - oszacowanie błędu po pojedynczym kroku}$$

$$\sigma_n\left(2 * \frac{h}{2}\right) = \frac{y_n^{(2)} - y_n^{(1)}}{2^p - 1} \xrightarrow{p=4} \frac{y_n^{(2)} - y_n^{(1)}}{15} \text{ - oszacowanie błędu po podwójnym kroku}$$

Gdzie $y_n^{(1)}$ jest nowym punktem uzyskanym w kroku o długości h , $y_n^{(2)}$ jest nowym punktem uzyskanym po dwóch krokach o długości.

Kod programu realizującego RK4 ze stałym krokiem:

```
function [xvalues, errors] = RK4const( x1, x2, h)
xvalues = zeros( 20/h, 2);
x1values = zeros( 20/h, 1);
x2values = zeros( 20/h, 1);
errors = zeros( 20/h, 2);
i = 0;
k = zeros(4,2);
a = 0;

while ( a < 20)
    vectora(i+1) = a;
    x1values(i+1) = x1;
    x2values(i+1) = x2;
    % new points
    k(1,1) = dx1(x1, x2);
    k(1,2) = dx2(x1, x2);

    k(2,1) = dx1( (x1 + 0.5 * h), (x2 + 0.5 * h * k(1,1)) );
    k(2,2) = dx2( (x1 + 0.5 * h), (x2 + 0.5 * h * k(1,2)) );

    k(3,1) = dx1( (x1 + 0.5 * h), (x2 + 0.5 * h * k(2,1)) );
    k(3,2) = dx2( (x1 + 0.5 * h), (x2 + 0.5 * h * k(2,2)) );

    k(4,1) = dx1( (x1 + 0.5 * h), (x2 + 0.5 * h * k(3,1)) );
    k(4,2) = dx2( (x1 + 0.5 * h), (x2 + 0.5 * h * k(3,2)) );

    tempx1 = x1;
    tempx2 = x2;

    x1 = x1 + 1/6 * h * ( k(1,1) + 2*k(2,1) + 2*k(3,1) + k(4,1) );
    x2 = x2 + 1/6 * h * ( k(1,2) + 2*k(2,2) + 2*k(3,2) + k(4,2) );

    newx1 = x1;
```

```

newx2 = x2;
% errors
% first half-step
h = 0.5*h;
x1 = tempx1;
x2 = tempx2;

k(1,1) = dx1(x1, x2);
k(1,2) = dx2(x1, x2);

k(2,1) = dx1( (x1 + 0.5 * h), (x2 + 0.5 * h * k(1,1)) );
k(2,2) = dx2( (x1 + 0.5 * h), (x2 + 0.5 * h * k(1,2)) );

k(3,1) = dx1( (x1 + 0.5 * h), (x2 + 0.5 * h * k(2,1)) );
k(3,2) = dx2( (x1 + 0.5 * h), (x2 + 0.5 * h * k(2,2)) );

k(4,1) = dx1( (x1 + 0.5 * h), (x2 + 0.5 * h * k(3,1)) );
k(4,2) = dx2( (x1 + 0.5 * h), (x2 + 0.5 * h * k(3,2)) );

x1 = x1 + 1/6 * h * ( k(1,1) + 2*k(2,1) + 2*k(3,1) + k(4,1) );
x2 = x2 + 1/6 * h * ( k(1,2) + 2*k(2,2) + 2*k(3,2) + k(4,2) );

%second half-step

k(1,1) = dx1(x1, x2);
k(1,2) = dx2(x1, x2);

k(2,1) = dx1( (x1 + 0.5 * h), (x2 + 0.5 * h * k(1,1)) );
k(2,2) = dx2( (x1 + 0.5 * h), (x2 + 0.5 * h * k(1,2)) );

k(3,1) = dx1( (x1 + 0.5 * h), (x2 + 0.5 * h * k(2,1)) );
k(3,2) = dx2( (x1 + 0.5 * h), (x2 + 0.5 * h * k(2,2)) );

k(4,1) = dx1( (x1 + 0.5 * h), (x2 + 0.5 * h * k(3,1)) );
k(4,2) = dx2( (x1 + 0.5 * h), (x2 + 0.5 * h * k(3,2)) );

tempx12 = x1 + 1/6 * h * ( k(1,1) + 2*k(2,1) + 2*k(3,1) + k(4,1) );
tempx22 = x2 + 1/6 * h * ( k(1,2) + 2*k(2,2) + 2*k(3,2) + k(4,2) );

errors(i+1,1) = (tempx12 - x1)/15;
errors(i+1,2) = (tempx22 - x2)/15;
x1 = newx1;
x2 = newx2;

h = 2*h;

a = a + h;
i = i+1;
end
plot(x1values, x2values, 'b');
for i=1:1:20/h
    xvalues(i, 1) = x1values(i, 1);
    xvalues(i, 2) = x2values(i, 1);
end

```

Krok wyznaczyłem wpisując kolejne wartości kroku i patrzeć na błędy metody sumując moduły wartości wektora errors. Oto tabelka dla subiektywnie wybranych kroków:

a) ($x_1 = 8, x_2 = 7$)

| Krok | Błąd x1 | Błąd x2 |
|---------|---------|---------|
| 0.1 | NaN | NaN |
| 0.025 | NaN | NaN |
| 0.02 | 0.2945 | 0.2483 |
| 0.01 | 0.2630 | 0.3144 |
| 0.008 | 0.3049 | 0.3416 |
| 0.005 | 0.3618 | 0.3776 |
| 0.002 | 0.4099 | 0.4100 |
| 0.001 | 0.4239 | 0.4201 |
| 0.0001 | 0.4359 | 0.4291 |
| 0.00005 | 0.4365 | 0.4295 |

Dla przykładu a) idealnym krokiem wydaje się krok 0.02.

b) ($x_1 = 0, x_2 = 0.4$)

| Krok | Błąd x1 | Błąd x2 |
|---------|---------|---------|
| 0.1 | 0.2075 | 0.2087 |
| 0.025 | 0.1949 | 0.1911 |
| 0.020 | 0.1940 | 0.1898 |
| 0.010 | 0.1919 | 0.1871 |
| 0.008 | 0.1916 | 0.1868 |
| 0.005 | 0.1909 | 0.1859 |
| 0.002 | 0.1903 | 0.1852 |
| 0.001 | 0.1901 | 0.1850 |
| 0.0001 | 0.1899 | 0.1848 |
| 0.00005 | 0.1899 | 0.1847 |

Dla przykładu b) idealnym krokiem wydaje się krok 0.0001 lub 0.00005, ale przyjmujemy większą wartość.

c) ($x_1 = 5, x_2 = 0$)

| Krok | Błąd x1 | Błąd x2 |
|---------|---------|---------|
| 0.1 | NaN | NaN |
| 0.025 | 0.2691 | 0.2125 |
| 0.020 | 0.2930 | 0.2130 |
| 0.010 | 0.3251 | 0.2121 |
| 0.008 | 0.3301 | 0.2120 |
| 0.005 | 0.3367 | 0.2116 |
| 0.002 | 0.3429 | 0.2113 |
| 0.001 | 0.3448 | 0.2111 |
| 0.0001 | 0.3465 | 0.2110 |
| 0.00005 | 0.3466 | 0.2110 |

Dla przykładu c) idealnym krokiem wydaje się krok 0.025, ponieważ zmiany błędu x2 nie są bardzo znaczące natomiast x1 zmienia się znacznie.

d) ($x_1 = 0.01, x_2 = 0.001$)

| Krok | Błąd x1 | Błąd x2 |
|---------|---------|---------|
| 0.1 | 0.1420 | 0.1438 |
| 0.025 | 0.0825 | 0.0869 |
| 0.020 | 0.0764 | 0.0809 |
| 0.010 | 0.0625 | 0.0672 |
| 0.008 | 0.0596 | 0.0642 |
| 0.005 | 0.0548 | 0.0594 |
| 0.002 | 0.0499 | 0.0544 |
| 0.001 | 0.0482 | 0.0527 |
| 0.0001 | 0.0466 | 0.0511 |
| 0.00005 | 0.0465 | 0.0510 |

Dla przykładu c) idealnym krokiem wydaje się krok 0.0001 lub 0.00005, ale przyjmujemy większą wartość.

Wyznaczanie zmienionej długości kroku

Ogólny wzór na część główną błędu metody rzędu p dla kroku h jest w postaci

$$\sigma_n(h) = \gamma * h^{p+1}, \text{ gdzie } \gamma = \frac{r_n^{p+1}(0)}{(p+1)!}$$

Jest pierwszym niezerowym współczynnikiem w rozwinięciu błędu aproksymacji w szereg Taylora. Gdy zmieniamy krok z h na αh , to

$$\sigma_n(\alpha h) = \gamma * (\alpha h)^{p+1}$$

skąd

$$\sigma_n(\alpha h) = \alpha^{p+1} * \sigma_n(h)$$

Założenie dokładności obliczeń na wartości ε oznacza

$$|\sigma_n(\alpha h)| = \varepsilon$$

Z tych wzorów uzyskujemy

$$\alpha = \left(\frac{\varepsilon}{|\sigma_n(h)|} \right)^{\frac{1}{p+1}}$$

Na podstawie danego α możemy obliczyć kolejny krok ze wzoru

$$h_{n+1} = s * \alpha * h_n$$

Gdzie $s = 0.9$

Ponadto parametr dokładności obliczeń ε określa się na ogół następująco:

$$\varepsilon = |y_n| * \varepsilon_w + \varepsilon_b$$

Gdzie

ε_w – dokładność względna

ε_b – dokładność bezwzględna

Dla układu układów równań liczymy α dla każdego z równań i wybieramy najmniejszą z obliczonych α .

Aby za bardzo nie zwiększać kroku wybieramy kolejny krok

$$h_{n+1} = \min(h_{n+1}^*, 5h_n, b - x_n)$$

Program rozwiązujący równania różniczkowe RK4 ze zmiennym krokiem:

```
function [xvalues, errors] = RK4variable( x1, x2, h, epsr, epsa)
% x1 - first value of x1
% x2 - first value of x2
% h - step
% epsr - relative epsilon
% epsa - absolute epsilon
i = 0;
k = zeros(4,2);
a = 0;
while ( a < 20 )
    vectora(i+1) = a;
    x1values(i+1) = x1;
    x2values(i+1) = x2;

    % new points
    k(1,1) = dx1(x1, x2);
    k(1,2) = dx2(x1, x2);

    k(2,1) = dx1( (x1 + 0.5 * h), (x2 + 0.5 * h * k(1,1)) );
    k(2,2) = dx2( (x1 + 0.5 * h), (x2 + 0.5 * h * k(1,2)) );

    k(3,1) = dx1( (x1 + 0.5 * h), (x2 + 0.5 * h * k(2,1)) );
    k(3,2) = dx2( (x1 + 0.5 * h), (x2 + 0.5 * h * k(2,2)) );

    k(4,1) = dx1( (x1 + 0.5 * h), (x2 + 0.5 * h * k(3,1)) );
    k(4,2) = dx2( (x1 + 0.5 * h), (x2 + 0.5 * h * k(3,2)) );

    tempx1 = x1;
    tempx2 = x2;

    x1 = x1 + 1/6 * h * ( k(1,1) + 2*k(2,1) + 2*k(3,1) + k(4,1) );
    x2 = x2 + 1/6 * h * ( k(1,2) + 2*k(2,2) + 2*k(3,2) + k(4,2) );

    newx1 = x1;
    newx2 = x2;
    % errors
    % first half-step
    h = 0.5*h;
    x1 = tempx1;
    x2 = tempx2;

    k(1,1) = dx1(x1, x2);
    k(1,2) = dx2(x1, x2);

    k(2,1) = dx1( (x1 + 0.5 * h), (x2 + 0.5 * h * k(1,1)) );
    k(2,2) = dx2( (x1 + 0.5 * h), (x2 + 0.5 * h * k(1,2)) );
```



```

k(3,1) = dx1( (x1 + 0.5 * h), (x2 + 0.5 * h * k(2,1)) );
k(3,2) = dx2( (x1 + 0.5 * h), (x2 + 0.5 * h * k(2,2)) );

k(4,1) = dx1( (x1 + 0.5 * h), (x2 + 0.5 * h * k(3,1)) );
k(4,2) = dx2( (x1 + 0.5 * h), (x2 + 0.5 * h * k(3,2)) );

x1 = x1 + 1/6 * h * ( k(1,1) + 2*k(2,1) + 2*k(3,1) + k(4,1) );
x2 = x2 + 1/6 * h * ( k(1,2) + 2*k(2,2) + 2*k(3,2) + k(4,2) );

%second half-step

k(1,1) = dx1(x1, x2);
k(1,2) = dx2(x1, x2);

k(2,1) = dx1( (x1 + 0.5 * h), (x2 + 0.5 * h * k(1,1)) );
k(2,2) = dx2( (x1 + 0.5 * h), (x2 + 0.5 * h * k(1,2)) );

k(3,1) = dx1( (x1 + 0.5 * h), (x2 + 0.5 * h * k(2,1)) );
k(3,2) = dx2( (x1 + 0.5 * h), (x2 + 0.5 * h * k(2,2)) );

k(4,1) = dx1( (x1 + 0.5 * h), (x2 + 0.5 * h * k(3,1)) );
k(4,2) = dx2( (x1 + 0.5 * h), (x2 + 0.5 * h * k(3,2)) );

tempx12 = x1 + 1/6 * h * ( k(1,1) + 2*k(2,1) + 2*k(3,1) + k(4,1) );
tempx22 = x2 + 1/6 * h * ( k(1,2) + 2*k(2,2) + 2*k(3,2) + k(4,2) );

errors(i+1,1) = (tempx12 - x1)/15;
errors(i+1,2) = (tempx22 - x2)/15;

x1 = newx1;
x2 = newx2;

h = 2*h;

eps(1) = abs(x1) * epsr + epsa;
eps(2) = abs(x2) * epsr + epsa;

alpha1 = ( eps(1) / abs(errors(i+1, 1)*(h^5)) )^(1/5);
alpha2 = ( eps(2) / abs(errors(i+1, 2)*(h^5)) )^(1/5);

alpha = min(alpha1, alpha2);

hnew = 0.9 * alpha * h;

if ( 0.9 * alpha >= 1 )
    if ( a + hnew >= 20 )
        break;
    else
        a = a + h;
        h = min([hnew, 5*h, 20-a]);
        i = i+1;
    end
else
    if ( hnew < h )
        h = hnew;
    else
        error('Cant solve with this epsilon');
    end
end

```

```

        end
    end
end
plot(x1values, x2values, 'b');
for j = 1:(i-1)
    xvalues(j, 1) = x1values(j);
    xvalues(j, 2) = x2values(j);
end

```

Tabela przedstawiająca porównanie błędów najlepszego kroku dla metody stałego kroku i zmiennego kroku

| | X1 stały | X1 zmienny | X2 stały | X2 zmienny |
|------------|----------|------------|----------|------------|
| Przykład a | 0.2945 | 0.2056 | 0.2483 | 0.2073 |
| Przykład b | 0.1899 | 0.2096 | 0.1848 | 0.2104 |
| Przykład c | 0.2691 | 0.2699 | 0.2125 | 0.2202 |
| Przykład d | 0.0466 | 0.1833 | 0.0511 | 0.1850 |

Wnioski dotyczące różnicy między metodą korku stałego a zmiennego

Błędy niekoniecznie są mniejsze, kiedy zastosujemy krok zmienny.

Metody wielokrokowe

Ogólna postać wzoru definiującego krok (iterację) metody k-krokowej liniowej ze stałą długością kroku h, jest następująca:

$$y_n = \sum_{j=1}^k \alpha_j * y_{n-j} + h * \sum_{j=0}^k \beta_j * f(x_{n-j}, y_{n-j})$$

Metoda ta różni się od metody jednokrokowej tym, że kolejne punkty są wyliczane na podstawie poprzednich punktów.

Metody Adamsa

Równanie różniczkowe

$$y'(x) = f(x, y(x))$$

$$y(a) = y_a, \quad a \in [a, b]$$

Równoważne jest równaniu całkowemu

$$y(x) = y(a) + \int_a^x f(t, y(t)) dt$$

Metody Adamsa dostajemy rozważając to równanie na przedziale $[x_{n-1}, x_n]$

$$y(x_n) = y(x_{n-1}) + \int_{x_{n-1}}^{x_n} f(t, y(t)) dt$$

Metody jawne (Adamsa – Bashfortha)

Funkcję podcałkową f przybliżamy wielomianem interpolacyjnym $W(x)$ stopnia co najwyżej k-1 opartym na węzłach x_{n-1}, \dots, x_{n-k} . Przyjmując przybliżenie $y(x_{n-1}) \approx y_{n-1}$ i stosując wzór interpolacyjny Lagrange'a mamy

$$f(x, y(x)) \approx W(x) = \sum_{j=1}^k f(x_{n-j}, y_{n-j}) L_j(x)$$

$$y_n = y_{n-1} + \sum_{j=1}^k f(x_{n-j}, y_{n-j}) \int_{x_{n-1}}^{x_n} L_j(t) dt$$

Gdzie $L_j(x)$ to wielomiany Lagrange'a,

$$L_j(x) = \prod_{m=1, m \neq j}^k \frac{x - x_{n-m}}{x_{n-j} - x_{n-m}}$$

Stąd po scałkowaniu przy założeniu $x_{n-j} = x_n - jh$ dla $j = 1, 2, \dots, k$ otrzymamy

$$y_n = y_{n-1} + h \sum_{j=1}^k \beta_j f(x_{n-j}, y_{n-j})$$

Gdzie wartości dla kolejnych β odczytujemy z tabeli podanej w książce.

Metody niejawne (Adamsa-Moultona)

Funkcję podcałkową przybliżamy wielomianem interpolacyjnym stopnia co najwyżej k opartym na węzłach $x_n, x_{n-1}, \dots, x_{n-k}$ z wartościami rozwiązania $y(x_{n-j}) \approx y_{n-j}$. Następnie postępując tak jak w przypadku poprzednim metod Adamsa-Bashfortha otrzymamy

$$y_n = y_{n-1} + h \sum_{j=0}^k \beta_j^* f(x_{n-j}, y_{n-j}) = y_{n-1} + h * \beta_0^* * f(x_n, y_n) + h \sum_{j=1}^k \beta_j^* f(x_{n-j}, y_{n-j})$$

Wartości dla parametrów β_j^* odczytamy z tabeli w książce.

Metody predyktor- korektor

Metoda ta wzięła się z określania wymagań idealnej metody. Zawiera ona zalety metody jawnej i również zalety metody niejawnej

Zalety metody niejawnej:

1. wysoki rząd i mała stała obliczeń
2. możliwie duży obszar absolutnej stabilności

Zaleta metody jawnej to:

1. możliwie mała liczba obliczeń na iteracje

Po połączeniu obydwu metod otrzymujemy tzw. predyktor-korektor

W kolejnych iteracjach wykonuje ona działania w skrócie nazwane PEKE

$$P: \quad y_n^{[0]} = \sum_{j=1}^k \alpha_j * y_{n-j} + h * \sum_{j=0}^k \beta_j * f_{n-j} \quad (\text{krok metody jawnej}) - \text{predykcja}$$

$$E: \quad f_n^{[0]} = f(x_n, y_n^{[0]}) - \text{ewaluacja}$$

$$K: \quad y_n = \sum_{j=1}^k \alpha_j^* y_{n-j} + h * \beta_0^* * f_n^{[0]} + h \sum_{j=1}^k \beta_j^* f_n^{[0]} \quad (\text{krok metody niejawnej}) - \text{korekcja}$$

$$E: \quad f_n = f(x_n, y_n) - \text{ewaluacja}$$

Dla metod Adamsa algorytm PK ma postać:

$$P: \quad y_n^{[0]} = y_{n-1} + h * \sum_{j=0}^k \beta_j * f_{n-j} \quad (\text{krok metody jawnej}) - \text{predykcja}$$

$$E: \quad f_n^{[0]} = f(x_n, y_n^{[0]}) - \text{ewaluacja}$$

$$K: \quad y_n = y_{n-1} + h * \beta_0^* * f_n^{[0]} + h \sum_{j=1}^k \beta_j^* f_n^{[0]} \quad (\text{krok metody niejawnej}) - \text{korekcja}$$

$$E: \quad f_n = f(x_n, y_n) - \text{ewaluacja}$$

Liczenie błędu aproksymacji

Błędem aproksymacji nazywamy różnicę

$$r_n(h) \stackrel{\text{def}}{=} \left[\sum_{j=1}^k \alpha_j y(x_{n-j}) + h \sum_{j=0}^k \beta_j f(x_{n-j}, y(x_{n-j})) \right] - y(x_n)$$

Jest to dokładnie błąd metody, który informuje o tym, jaki błąd wnosi metoda w danym kroku (n-tym), a więc po przyjęciu w równaniu metody (wyrażenie w nawiasie kwadratowym) punktów dokładnych jest to definicja taka sama jak w przypadku metod jednokrokowych.

Kiedy połączymy równanie metody i równanie błędu dostajemy:

$$y_n - y(x_n) = h \beta_0 [f(x_n, y_n) - f(x_n, y(x_n))] + r_n(h)$$

Gdzie $r_n(h)$ wynosi

$$r_n(h) = c_{p+1} h^{p+1} y^{(p+1)}(x_n) + O(h^{p+2})$$

Dla metody rzędu p

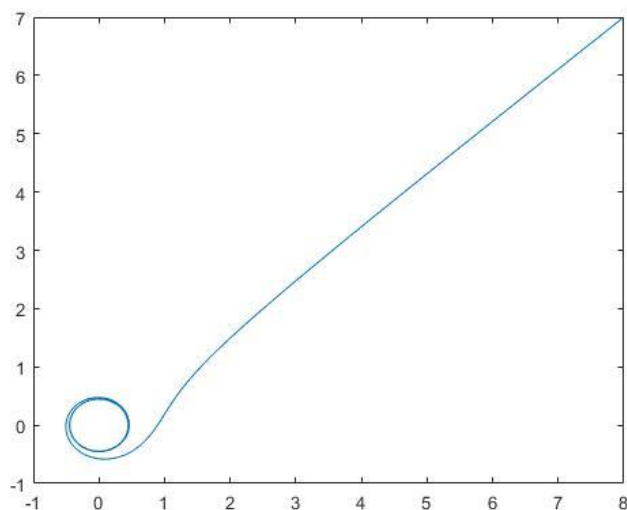
Ogólnie błąd możemy wyliczyć z równania

$$y_n - y(x_n) = h * \frac{251}{720} * [f(x_n, y_n) - f(x_n, y(x_n))] + \frac{19}{720} h^5 y^{(5)}(x_n)$$

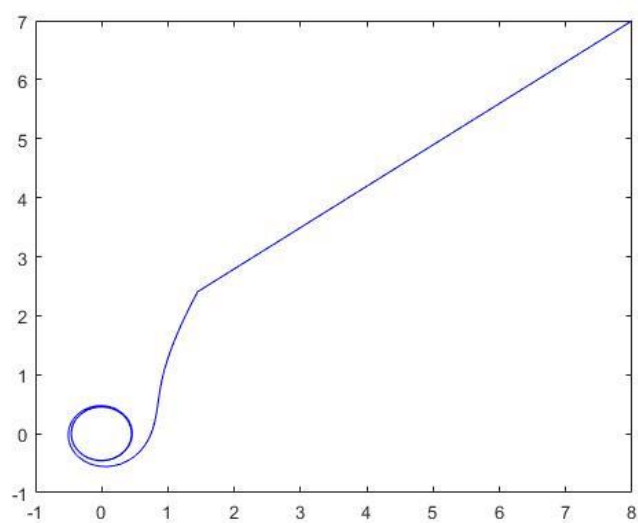
Obliczanie piątej pochodnej jest nieco skomplikowane z tego względu przy wyznaczaniu idealnego kroku dla metody predyktor-korektor posłużyłem się metodą „na oko”.

Przykład a)

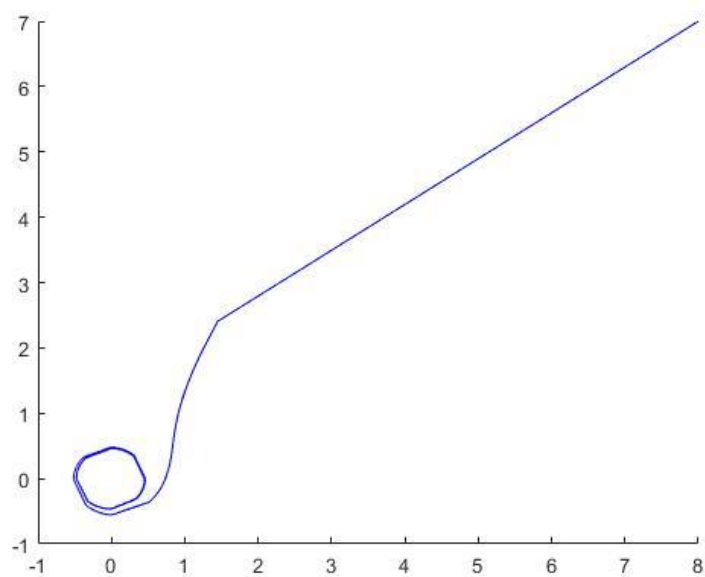
1. Wykres stworzony przed funkcje ode45



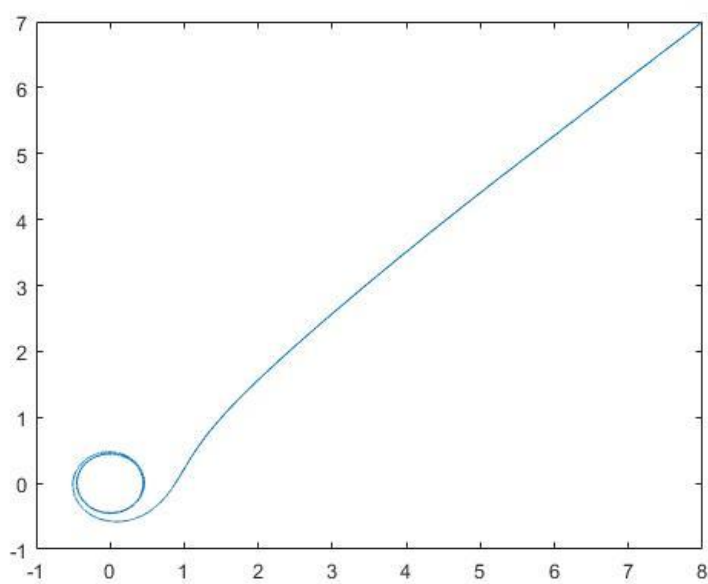
2. Metoda RK4 ze stałym krokiem dla najlepszego kroku $h = 0.02$



3. Metoda RK4 ze zmiennym krokiem (krok startu $h = 0.02$ epsilony to $1e-11$)

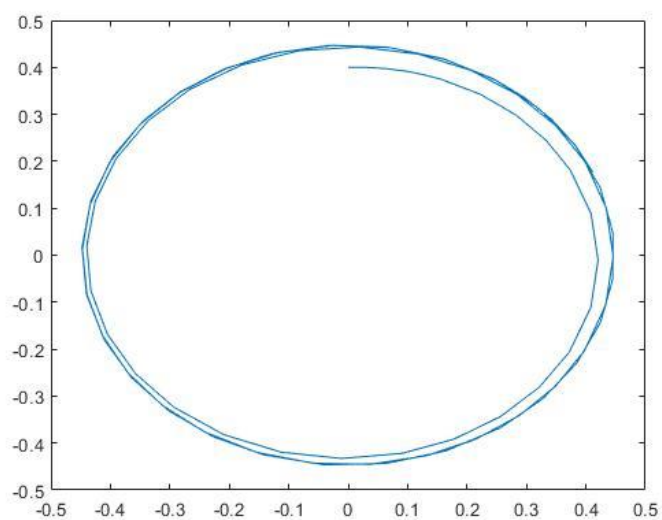


4. Metoda predyktor-korektor ze stałym krokiem dla najlepszego kroku $h = 0.001$

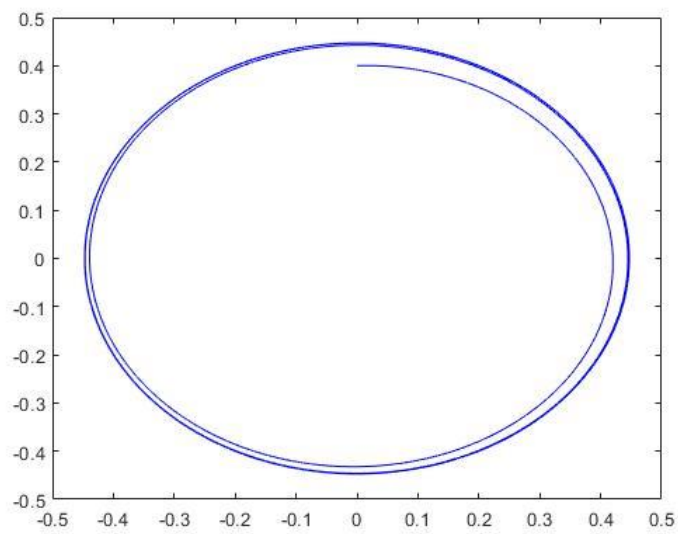


Przykład b)

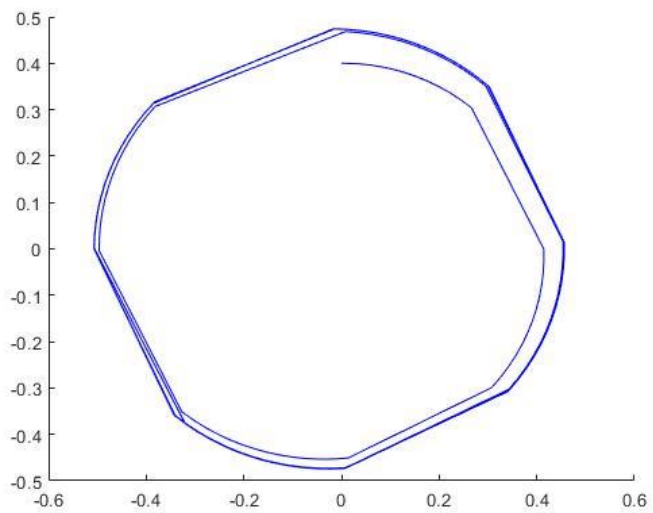
1. Wykres stworzony przed funkcje ode45



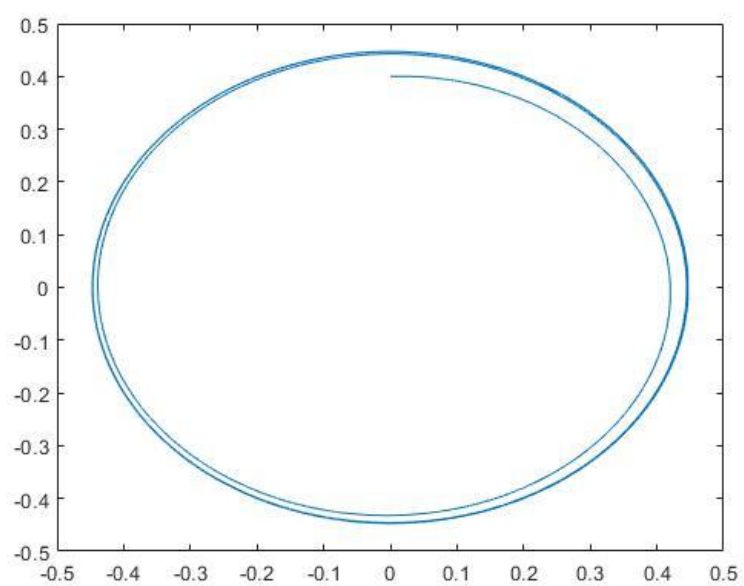
2. Metoda RK4 ze stałym krokiem dla najlepszego kroku $h = 0.0001$



3. Metoda RK4 ze zmiennym krokiem dla $h = 0.0005$, obydwa epsilon $10e-9$

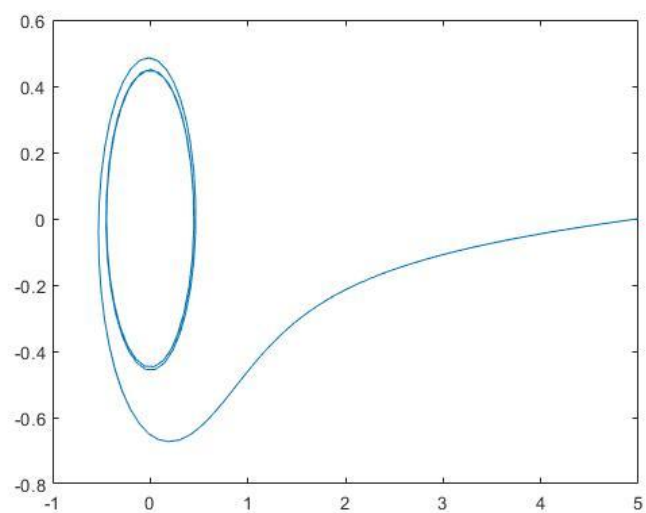


4. Metoda predyktor-korektor ze stałym krokiem dla najlepszego kroku $h = 0.0001$

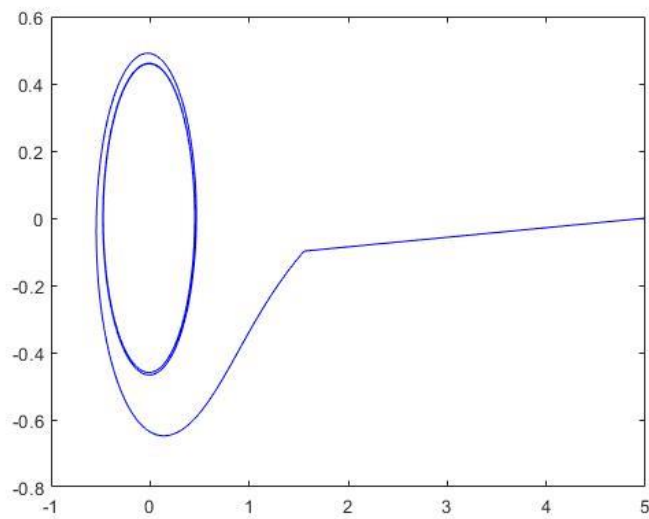


Przykład c)

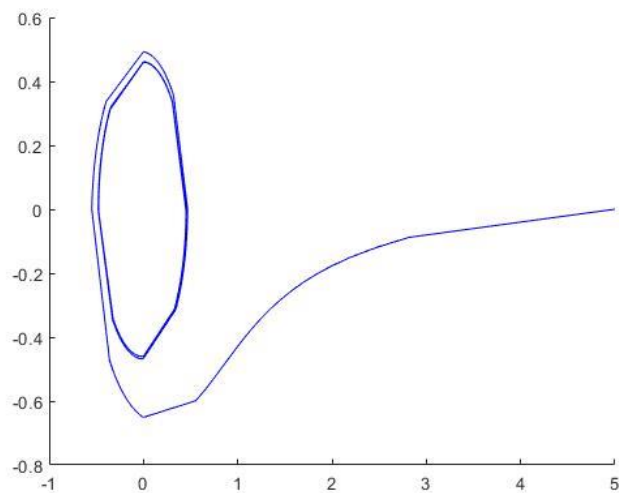
1. Wykres stworzony przed funkcje ode45



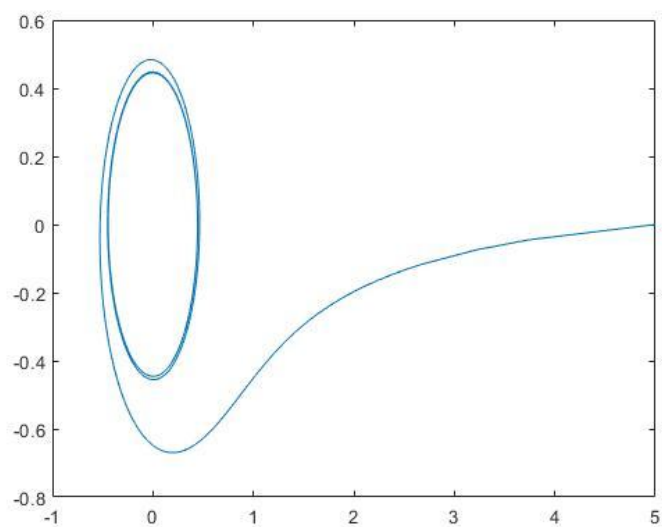
2. Metoda RK4 ze stałym krokiem dla najlepszego kroku $h = 0.0001$



3. Metoda RK4 ze zmiennym krokiem $h = 0.001$, epsilon to $1e-11$

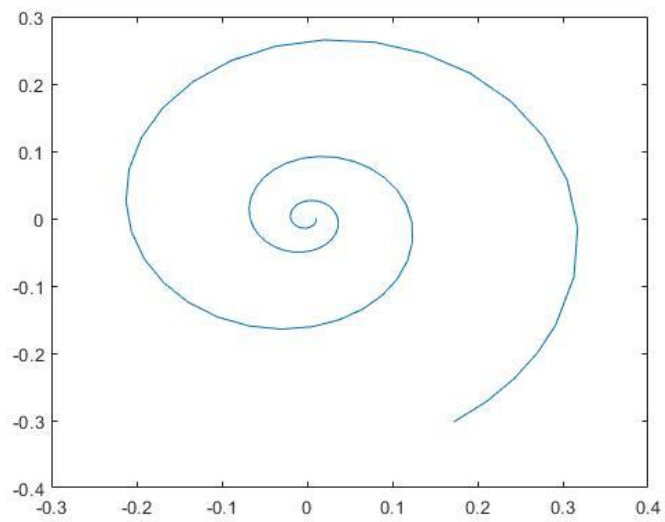


4. Metoda predyktor-korektor ze stałym krokiem dla najlepszego kroku $h = 0.01$

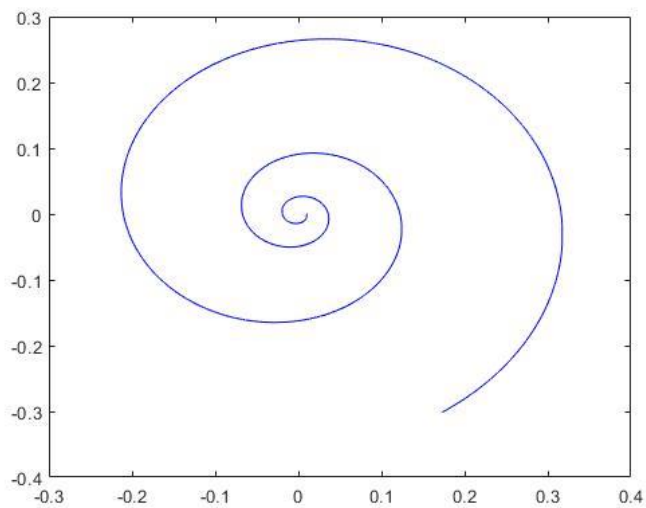


Przykład d)

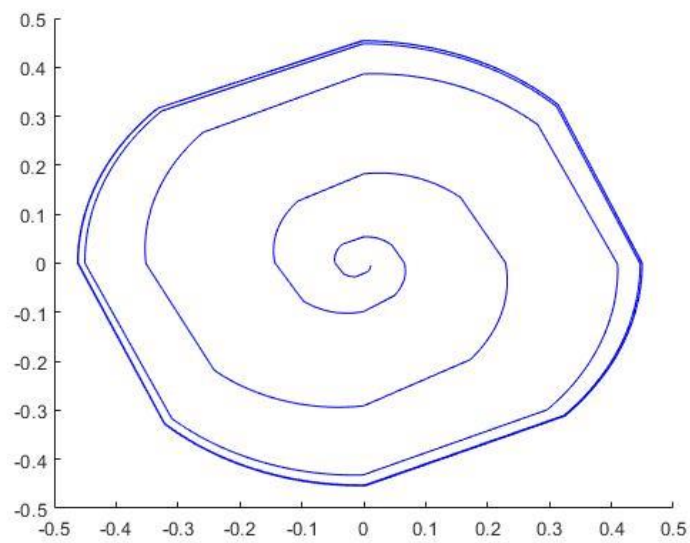
1. Wykres stworzony przed funkcje ode45



2. Metoda RK4 ze stałym krokiem dla najlepszego kroku $h = 0.02$



3. Metoda RK4 ze zmiennym krokiem $h = 0.1$, epsilon to $1e-12$



4. Metoda predyktor-korektor ze stałym krokiem dla najlepszego kroku $h = 0.001$

